

## 생체시료로부터 미량 $\beta$ -Blockers의 동시고상추출에 사용될 흡착제들의 특성

김경례<sup>†</sup> · 김도정

성균관대학교 약학대학 제약학과

(1993. 12. 2. 접수)

## Characterization of Adsorbents for the Simultaneous Solid-Phase Extraction of Trace $\beta$ -Blockers from Biological Samples

Kyoung Rae Kim<sup>†</sup> and Do Jeong Kim

College of Pharmacy, Sung Kyun Kwan University, Suwon 440-746, Korea

(Received Dec. 2, 1993)

**요약 :** 생체시료 중  $\beta$ -blockers의 동시분석을 위한 시료 전처리 과정으로서 고상추출법을 사용하기 위해 4가지 흡착제의 흡착 및 탈착 효율을 조사하였다. 용출 용매로서 methanol을 사용하였을 때 Chromosorb 107이 가장 높은 회수율을 보였다.  $\beta$ -Blockers의 breakthrough 조사를 하여 Chromosorb 107 컬럼의 우수한 흡착 및 탈착 성질을 혈청 중 2~8 ppm 농도 범위의  $\beta$ -blockers를 동시에 고상추출하는 데 Chromosorb 107/methanol의 유용성을 조사하였다.

**Abstract :** The efficiencies of four different solid absorbents were evaluated for the simultaneous solid-phase extraction of six  $\beta$ -blockers from biological sample. Chromosorb 107 using methanol as the eluting solvent gave the highest solid-phase extraction yield. From the breakthrough studies of  $\beta$ -blockers, the excellent sorption and desorption properties of the Chromosorb 107 column were verified. The usefulness of Chromosorb 107/methanol was examined for the simultaneous solid-phase extraction of the  $\beta$ -blockers from serum in the concentration range of 2~8ppm.

**Key word :** solid-phase extraction,  $\beta$ -blockers, Chromosorb 107 / methanol, breakthrough curve, serum.

### 1. 서 론

장기의  $\beta$ -adrenoreceptor에서 catecholamine의 작용을 상경적으로 차단하는  $\beta$ -blockers는 주로 고혈압, 심부정맥, 심근경색증 등의 심혈관계 치료에 쓰이는 약물로서 혈중 유효 치료농도는 약 50~400 ng / ml<sup>o</sup>이고 치사 혈중농도는 10~20  $\mu$ g / ml<sup>o</sup>이다.<sup>1~3</sup>

치료과정 중에 서맥, 저혈압, 천도장애, 울혈성 심장마비, 기관지경련, 불면증, 우울증 및 말초순환 악화 등이 발현되기도 한다. 비교적 낮은 경구 복용량(5~100mg)에서 나타나는 심박동률 및 근육경련이 감소되는 부작용 효과를 운동선수들이 악용하기 시작하자 현재 doping 규제 약물로 선정되어 있다. 장기간에 걸친 효과적인 치료를 위한 약물 동력학적, 임상치료학적 연

구, 또한 doping 스크리닝 등을 성공적으로 수행하기 위해서는 다양한 구조를 가진  $\beta$ -blockers와 그 대사를 들을 동시에 신속하고 정확하게 분석할 수 있어야 한다.

분리능, 감도, 재현성, 분석시간 등에 우수성을 갖는 gas chromatography(GC)법을 적용하여 다양한  $\beta$ -blockers를 정확하게 분석하기 위해서는  $\beta$ -blockers의 hydroxyl, amino 혹은 amide기의 활성 수소를 극성이 적은 기능기로 치환하여<sup>4~6</sup> 열에 안정하고 휘발성이 큰 유도체로 전환시킨다. 본 실험실에서는 GC 및 gas chromatography-mass spectrometry(GC-MS) 분석 성질이 우수한 *tert*-butyldimethylsilyl(TBDMS) 유도체화 반응을  $\beta$ -blockers에 적용하여 보고한 바 있다.<sup>7</sup>

생체시료 중 미량의  $\beta$ -blockers를 분석하기에 앞서 수행되는 시료 처리과정으로서 유기용매 추출법이 주로 이용되고 있으며, Bond-elut C<sub>2</sub>, C<sub>18</sub>, CN 등의 유기 성흡착제를 이용한 고상추출법(solid-phase extraction)도 적용되고 있다.<sup>5, 8, 9</sup> 그러나 유기용매추출법보다 조작이 간단하여 자동화가 가능한 고상추출법을 적용할 때에는 최적의 흡착제와 용출 유기용매를 결정하기 위하여 사용 가능한 흡착제들의 흡착 및 탈착 등의 물리적 성질 조사가 선행되어야 한다. 본 연구실에서는 pH의 영향을 받지 않는 흡착제들인 Chromosorb 102, Chromosorb 107, Thermosorb, Carbopak B의 다양한 약물들에 대한 흡착계수 및 탈착계수를 조사하여 보고한 바 있다.<sup>10~13</sup>

본 연구에서는  $\beta$ -blockers 중에서 가장 널리 쓰이는 atenolol, betaxolol, metoprolol, oxprenolol, penbutolol, propranolol에 대한 이를 흡착제들의 고상추출성질을 조사하고 최적 흡착제를 선정한 후 혈청시료에 적용하여 matrix 영향과 검출 정량성을 검토하였다.

## 2. 실험

**재료 및 시약:** Atenolol, betaxolol · HCl, metoprolol · 1/2 tartrate, oxprenolol · HCl, penbutolol · 1/2 H<sub>2</sub>SO<sub>4</sub>, propranolol · HCl의 6종류  $\beta$ -blockers는 Sigma (St. Louis, U.S.A.)로부터 구입했고 madazepam (MZ)은 종근당으로부터 제공되었다. Acetone, methanol, methylene chloride(James Burrough, UK)는 HPLC급 시약이고 toluene, diethyl ether(Junsei, Japan), petroleum ether(Tedia, U.S.A.), ethyl acetate

(American Burdick & Jackson, U.S.A.)는 특급시약이었다. Tetrahydrofuran(THF)과 유도체화 시약인 N-methyl-N-(*tert*-butyldimethylsilyl) trifluoroacetamide (MTBSTFA)는 Pierce(Rockford, IL, U.S.A.) 것을 사용하였다. 사용된 물은 2차 정제한 (Milli Q water system, U.S.A.) 탈이온수였다. 60~80mesh 의 Chromosorb 102, Chromosorb 107, Carbopak B (Supelco Inc., U.S.A.)와 40~60mesh의 Thermosorb(Union Carbide, U.S.A.) 4종류의 고형흡착제를 본 실험에서 조사하였다.

**약물용액과 혈청시료:**  $\beta$ -Blockers를 유리아민 형태로서 methanol에 10mg / ml의 농도가 되도록 혼합 표준원액을 조제하였다. MZ를 10mg / ml의 농도가 되도록 methanol에 용해하여 내부 표준원액으로 사용하였다. 탈이온수를 pH 12.0으로 조정한 후 0.2, 0.4, 20ppm 농도가 되도록 표준원액을 첨가하여  $\beta$ -blockers 혼합 표준수용액을 조제하였다. 100 $\mu$ l 혈청에 2, 4, 8ppm 농도가 되도록  $\beta$ -blockers 혼합 표준용액을 첨가한 후, pH 12.0의 물을 가하여 10배 회석된  $\beta$ -blockers 혈청시료를 조제하였다.

**GC 분석조건:** GC 분석을 위해 flame ionization detector(FID)와 split injector가 장착된 Pye Unicam GCV gas chromatograph에 J & W사의 DB-1 fused silica capillary column(13m × 0.25mm i.d., 0.2 $\mu$ m d<sub>r</sub>)을 연결하여 사용하였다. 0.5~0.8 $\mu$ l 시료를 split mode(30:1)로 주입하였으며 column 온도는 210°C (2min)에서 280°C까지 7°C / min 상승시켰다. FID와 injector는 각각 300°C, 280°C로 유지시켰다. 혈청시료 분석시에는 on-column injector와 FID가 장착된 HP 3394A integrator가 연결된 Shimadzu GC 9A Gas chromatograph를 사용하였다. Deactivated fused silica tubing(1m × 0.25mm i. d.)이 연결된 DB-1 fused silica capillary column(15m × 0.25mm i. d., 0.2 $\mu$ m d<sub>r</sub>)에 0.4 $\mu$ l 시료를 on-column 주입한 후 100°C(0.5 min)에서 40°C / min로 220°C까지 상승시킨 후 7°C / min로 280°C까지 상승시키고 7분간 유지하였다. 검출기와 주입구의 온도는 각각 300°C와 상온으로 유지시켰다. MZ에 대한  $\beta$ -blockers의 피크 면적비를 검량선의 값과 비교하여 모든 정량계산을 하였다.

**고상추출 실험:** 각 흡착제(200mg)가 기밀하게 충전되어 있는 polypropylene 흡착컬럼(4mm i. d.)을 순환 용 Eyela A-3S aspirator(Japan)에 연결된 12개의 시

료를 동시에 처리할 수 있는 고상추출장치(Supelco, Inc., U.S.A.)에 장착하였다. 감압하에서 각 흡착 컬럼들을 methanol, pH 12.0, methanol, acetone, methylene chloride, methanol 순서로 세척하고 pH 12.0의 물로 평형시켰다. 여기에 20ppm 혼합 표준수용액(1ml)를 서서히 통과시켜  $\beta$ -blockers를 동시에 흡착시킨 후 중류수(3ml)와 petroleum ether(1ml) 순서로 통과시켜 세정하였다. 탈수한 후 흡착된  $\beta$ -blockers를 methanol(3ml)로 용출시키고 이 용출액에 내부표준물질 MZ의 양이 20ppm이 되도록 가하고 무수 Na<sub>2</sub>SO<sub>4</sub>로 전조시켰다. 1ml를 취하여 휘발 건조(N<sub>2</sub>, 60°C)시키고 THF(10 $\mu$ l)와 MTBSTFA(20 $\mu$ l)를 첨가한 후 가온하여(60°C, 1시간) TBDMS 유도체화한 후 GC 분석하였다.  $\beta$ -Blockers의 정량 목적으로 혼합표준용액을 1에서 10 $\mu$ g 되게 취하고 MZ을 5 $\mu$ g씩 첨가한 후 전조시키고 같은 방법으로 TBDMS 유도체화시킨 뒤 GC 분석하여 검량선을 작성하였다.

**Breakthrough Curve 및 Elution Curve 측정:** 사용한 high performance liquid chromatography(HPLC) 기기는 U6K injector 6000A solvent delivery system과 440 adsorbance detector가 부착된 Waters Assoc. Model ALC 200이었다. HPLC용 stainless steel column(5cm  $\times$  2mm i. d.)에 70mg의 Chromosorb 107를 기밀하게 충전한 후 injector와 UV detector 사이에 직접 연결하고, HPLC용 물 혹은 methanol을 이동상으로 사용하여 275nm에서  $\beta$ -blockers의 UV response를 on-line monitoring하였다. Methanol을 Chromosorb 107 column 내로 낮은 유속(0.4ml/min)으로 통과시키면서 20ppm  $\beta$ -blockers 혼합 표준수용액을 50, 100, 150 $\mu$ l씩 주입하고 함께 용출되는  $\beta$ -blockers의 UV response(1.0 AUFS)를 측정하여 검량선을 작성하였다. 동일한 Chromosorb 107 column을 물로 평형시킨 후 동일한 20 ppm  $\beta$ -blockers 혼합 표준수용액(100 $\mu$ l)를 주입하고 물을 20분간 통과시키면서(3.0ml/min), breakthrough curve(0.01 AUFS)를 얻었다. 이동상을 methanol로 전환하여(0.4ml/min) Chromosorb 107 column으로부터 흡착된  $\beta$ -blockers가 동시에 용출되는 elution curve(1.0 AUFS)를 얻었다.

**혈청 중의  $\beta$ -blockers 정량:** 유리 컬럼(3mm i. d.)에 Chromosorb 107(50mg)을 기밀하게 충전한 후 고상추출장치를 사용해서 HPLC용 물, methanol, acetone,

methylene chloride, methanol 순으로 세정하고 pH 12.0의 물로 평형시켰다. 여기에 회색된 혈청시료(2~8ppm) 1ml를 서서히 loading시킨 후 HPLC용 물(6ml)로 세정하고 탈수시키고 다시 petroleum ether(3ml)로 세정한 후 전조시켰다. Methanol(2ml)로 흡착된  $\beta$ -blockers를 용출하여 얻은 용출액을 MZ의 최종 농도가 0.5ppm이 되도록 가한 후 무수 Na<sub>2</sub>SO<sub>4</sub>로 전조시키고 휘발건조시킨 후 THF(5 $\mu$ l)와 MTBSTFA(5 $\mu$ l)를 첨가한 뒤 반응시키고(60°C, 1시간) GC로 분석하였다. 동일한 방법으로 0.2, 0.4ppm의 혼합표준수용액을 전처리하고 GC 분석하였다. 정량 목적으로 혼합표준용액을 0.1에서 1.0 $\mu$ g 되게 취하고 MZ을 0.5 $\mu$ g씩 첨가한 후 TBDMS 유도체화시키고 GC 분석하여 검량선을 작성하였다.

### 3. 결과 및 고찰

본 실험에서 조사한 6종류  $\beta$ -blockers의 2급 hydroxyl기와 amide기를 이미 보고한 TBDMS 유도체화 최적반응조건에서<sup>7</sup> 동시에 안정한 휘발성 유도체로 전환시킨 후 GC 분석하였을 때 0.1에서 1.0 $\mu$ g 범위와 1에서 10 $\mu$ g 범위에서 각각 0.999 이상의 상관계수를 갖는 일직선의 검량선을 얻을 수 있었다.

**흡착제들의 고상추출효율:** 조사한  $\beta$ -blockers는 aryloxypropanol의 공통 구조를 갖고 있는 약염기성 2급 아민 유도체( $pK_a=9.4\sim9.6$ )이므로 유리아민 몰분율을 높이기 위해서 20ppm 혼합표준수용액의 pH를 12.0으로 조정한 후 각 흡착제에 동시에 흡착시켰다. 예비실험에서 Carbopak B 통과여액에서는 거의 검출되지 않았으나 Chromosorb 107, Chromosorb 102, Thermosorb 순서로 통과 여액에서 검출되는 양이 증가되는 것을 확인하였다. 흡착되어 있는 약물들을 methanol로 용출시킨 뒤 회수율을 계산하여 각 흡착제들의 고상추출효율을 서로 비교하였다(Table 1).

일반적으로 편극성이 큰 약물들에 대해 높은 흡착계수를 가진 흑연유사구조의 비극성 Carbopak B<sup>10~12</sup>가  $\beta$ -blockers에 대해서도 가장 높은 흡착력을 보였다. 그러나 methanol 용출시 6.6~56.7%의 가장 낮은 회수율을 낸 것은 비가역적 흡착으로 인해 탈착평형에 신속히 도달하지 못한 것으로 사료된다.

극성이 큰 성분들에 대해 흡착탈착평형에 신속히 도

Table 1. Simultaneous solid-phase extraction of  $\beta$ -blockers

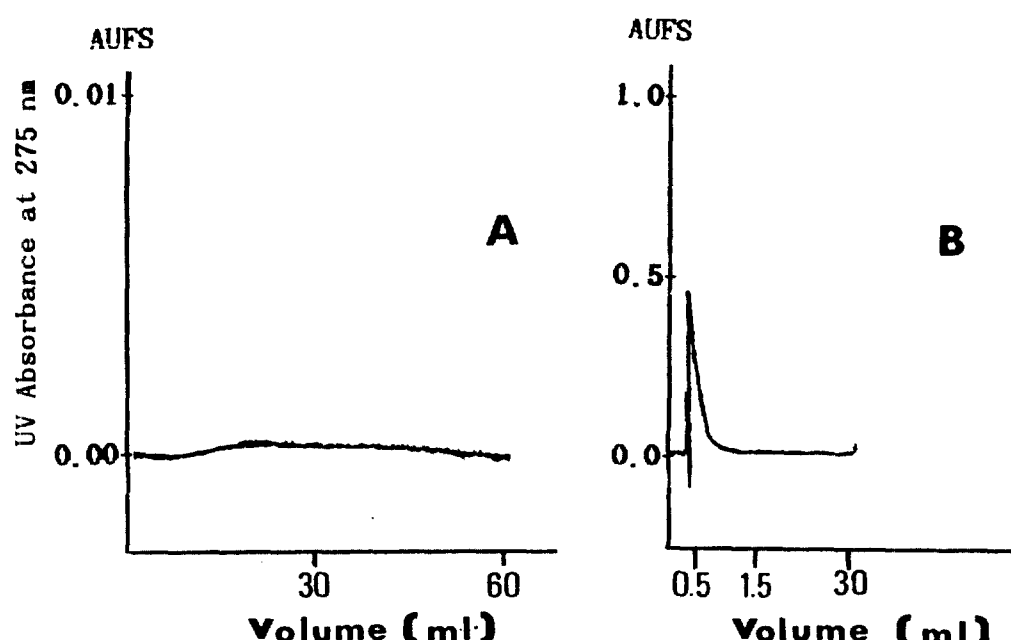
$\beta$ -blockers	Mean recovery $\pm$ SD of $\beta$ -blockers(%) <sup>a</sup>			
	Chromosorb	Chromosorb	Thermosorb	Carbopak B
	107	102		
Oxprenolol	91.0 $\pm$ 1.1	77.6 $\pm$ 1.7	75.2 $\pm$ 0.8	23.6 $\pm$ 0.6
Metoprolol	94.1 $\pm$ 0.3	83.1 $\pm$ 1.5	78.3 $\pm$ 0.5	45.0 $\pm$ 0.2
Penbutolol	90.4 $\pm$ 1.4	75.0 $\pm$ 1.8	58.0 $\pm$ 1.0	56.7 $\pm$ 0.9
Propranolol	92.8 $\pm$ 2.7	76.3 $\pm$ 1.0	73.3 $\pm$ 2.8	6.6 $\pm$ 0.5
Betaxolol	90.4 $\pm$ 1.2	85.6 $\pm$ 1.8	77.3 $\pm$ 2.3	10.5 $\pm$ 0.2
Atenolol	91.4 $\pm$ 2.0	86.9 $\pm$ 0.6	59.7 $\pm$ 2.0	50.8 $\pm$ 1.4

<sup>a</sup>Solid adsorbent (200mg) packed into column (4mm i. d.) : 20ppm  $\beta$ -blockers (1mL) : gravity flow : methanol elution (4mL) : n=3.

달하는 특성을 가진 acrylic ester 중합체인<sup>13,14</sup> Chromosorb 107은  $\beta$ -blockers에 대해서도 높은 흡착력과 또한 methanol 용출시 90% 이상의 가장 높은 회수율을 내었다.  $\beta$ -blockers 혼합물의 동시 고상추출흡착제로서 Chromosorb 107을 선정하였다.

#### Chromosorb 107에 대한 breakthrough 조사 : 선정된

Chromosorb 107 고상추출 흡착제를 혈액과 같은 복합생체시료에 적용할 때에는  $\beta$ -blockers를 용출하기 전에 Chromosorb 107 표면으로부터 시료의 대부분을 차지하는 수용성, 그리고 지용성 방해물질을 제거해야 한다. 흡착된  $\beta$ -blockers가 Chromosorb 107 column에서 breakthrough되기 전까지 수용성 방해물질을 제거시

Fig. 1. Breakthrough curve (A) and methanol elution curve (B) for the  $\beta$ -blocker mixture.

키는 목적으로 통과 가능한 물의 최대 용량을 측정하기 위하여 20ppm  $\beta$ -blockers 혼합표준용액(100 $\mu$ l)을 주입한 후 통과되는 물을 20분간 on-line monitoring하여 breakthrough curve(Fig. 1-A)을 구하였다. 60ml의 물이 통과해도  $\beta$ -blockers가 70mg의 Chromosorb 107 표면에 강하게 흡착되어 있기 때문에 breakthrough되지 않고 있음을 보여 주고 있다.

0.4ml/min의 낮은 유속으로 methanol을 통과시키면서 측정한 elution curve(Fig. 1-B)에서 Chromosorb 107에 흡착된  $\beta$ -blockers가 거의 tailing 없이 1.5ml 이내에 용출되었음을 알 수 있다.

Chromosorb 107 컬럼에 흡착된  $\beta$ -blockers를 직접 용매로 용출시킨 경우와 물을 통과시킨 후 용출시켰을 경우를 정량적으로 비교하였다(Table 2). 물을 통과시킨 경우에 오히려 Chromosorb 107 컬럼의 효율이 168에서 221로 증가하고 broadening factor는 3.6에서 2.4로 감소한 것은  $\beta$ -blockers가 Chromosorb 107 컬럼에 좁은 band로 강하게 흡착된 후 물이 통과하는 동안 거의 band broadening이 일어나지 않았음을 증명해 준다. 또한 0.7ml의 적은 methanol 용량으로  $\beta$ -blockers가 94% 이상 회수되었음을 보여 주고 있다.

Table 2. Results of the simultaneous breakthrough studies of  $\beta$ -blockers on Chromosorb 107 column

	Passage of water <sup>a</sup>	
	Without	After
Column efficiency(n)	168	221
Broadening factor	3.6	2.4
Recovery(%)	NA	94.4
Elution volume(ml)	0.8	0.7

<sup>a</sup>Chromosorb 107(70mg) packed into column (5cm  $\times$  2mm i.d.) : 20ppm  $\beta$ -blockers(100 $\mu$ l) : methanol elution (0.4ml/min) : distilled water passage (3ml/min) : n=2

NA =not applicable.

**혈청 중  $\beta$ -blockers의 고상추출:** Chromosorb 107 흡착컬럼에  $\beta$ -blockers 혈청시료를 loading하고 물과 petroleum ether 순서로 세정하여 수용성, 지용성 방

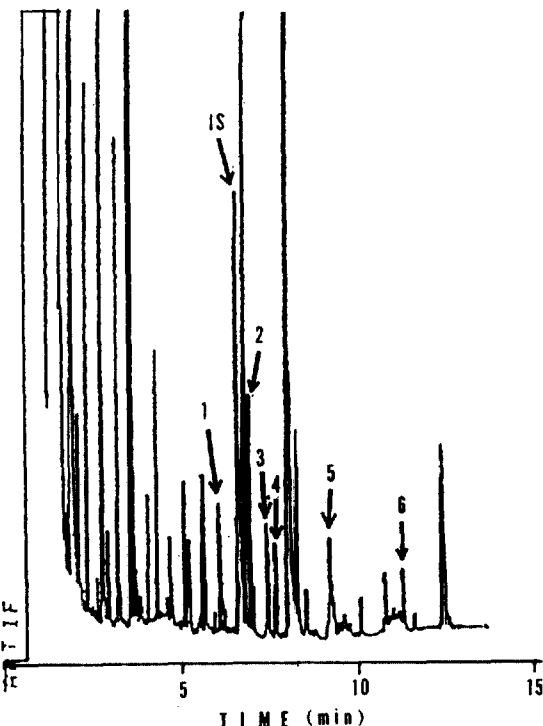


Fig. 2. Typical chromatogram of serum spiked with  $\beta$ -blockers.

1=oxprenolol. 2=metoprolol. 3=penbutolol.  
4=propranolol. 5=betaxolol. 6=atenolol.

IS=medazepam as internal standard

Cross-linked methylsilicone DB-1 fused silica capillary column(15m  $\times$  0.25mm i. d.) connected to a deactivated fused silica tubing(1m  $\times$  0.25mm i. d.) as the guard column, temperature programmed from 100°C(0.5min) to 220°C at 40°C/min and 280°C at 7°C/min, 0.4 $\mu$ l injected in on-column mode.

해성분을 제거한 후 methanol로 용출하였다. 용출액을 분석하여 얻은 전형적인 GC 프로파일(Fig. 2)은 혈청 내의 다른 성분들도 함께 고상추출되었으나 첨가된  $\beta$ -blockers의 검출정량에는 방해하지 않음을 보여 주고 있다.

$\beta$ -Blockers는 체내 단백결합률이 약물에 따라 90% 까지 달하므로 고상추출에 대한 혈청 matrix 영향을 조사하기 위해서 pH 12.0 물시료를 동일한 방법으로 분석하였다(Table 3). 83.2~99.5%의 높은 회수율을 보인 물시료에 비해 혈청시료인 경우에는 낮은 회수율을

Table 3. Effects of serum matrix on the solid-phase extraction of  $\beta$ -blockers

$\beta$ -blockers	Mean recovery $\pm$ SD of $\beta$ -blockers(%) <sup>a</sup>			
	Amount added to water <sup>b</sup>		Amount added to serum <sup>c</sup>	
	0.2 $\mu$ g	0.4 $\mu$ g	0.2 $\mu$ g	0.4 $\mu$ g
Oxprenolol	99.3 $\pm$ 3.2	99.5 $\pm$ 3.2	75.7 $\pm$ 3.1	62.2 $\pm$ 3.0
Metoprolol	94.6 $\pm$ 3.0	95.6 $\pm$ 1.6	40.0 $\pm$ 2.5	59.2 $\pm$ 1.2
Penbutolol	91.3 $\pm$ 4.8	83.2 $\pm$ 4.3	34.0 $\pm$ 2.6	55.9 $\pm$ 2.3
Propranolol	86.1 $\pm$ 2.3	84.2 $\pm$ 3.2	62.8 $\pm$ 2.7	69.6 $\pm$ 2.1
Betaxolol	89.4 $\pm$ 4.3	88.8 $\pm$ 2.4	59.9 $\pm$ 2.1	78.1 $\pm$ 5.0
Atenolol	97.6 $\pm$ 5.0	98.9 $\pm$ 1.1	55.2 $\pm$ 1.8	66.3 $\pm$ 2.4

<sup>a</sup> Chromosorb 107(50mg) packed into glass column (3mm i. d.) : methanol elute(2ml) : n=3.

<sup>b</sup> pH 12.0 water(1ml) :

<sup>c</sup> serum(100 $\mu$ l) diluted with pH 12.0 water(900 $\mu$ l).

Table 4. Linear regression analysis for the calibration graph of the solid-phase extracted  $\beta$ -blockers from serum

$\beta$ -blockers	Regression line		Correlation coefficient r
	m <sup>b</sup>	b <sup>c</sup>	
Oxprenolol	0.0371	0.0386	0.9996
Metoprolol	0.0365	0.0362	0.9975
Penbutolol	0.0575	0.0375	0.9961
Propranolol	0.0389	0.0163	0.9980
Betaxolol	0.0458	0.0208	0.9995
Atenolol	0.0316	0.0314	0.0999

<sup>a</sup> Serum(100 $\mu$ l) diluted with pH 12.0 water(0.9ml) :

Chromosorb 107(50mg) packed into glass column (3mm i. d.) :

methanol elute(2ml) : n=3

<sup>b</sup> m = slope = relative weight response = mean peak area ratio  
of  $\beta$ -blocker  $\times$  weight of I. S. / weight of  $\beta$ -blocker

<sup>c</sup> b = y-intercept

내었다. 그러나 혈청에 첨가된  $\beta$ -blockers 농도와 피크 면적비 사이의 직선성과 재현성을 조사하였을 때 2~8ppm 농도 범위에서 0.9961에서 0.9999의 상관계수 (Table 4)를 갖는 일직선의 검량선들을 얻었다(Fig. 3).

재현성이 2.0에서 7.6% 범위이지만 대부분의 경우 5.0% 이하였으므로 혈청내 미량의  $\beta$ -blockers를 정밀하게 정량할 수 있었다.

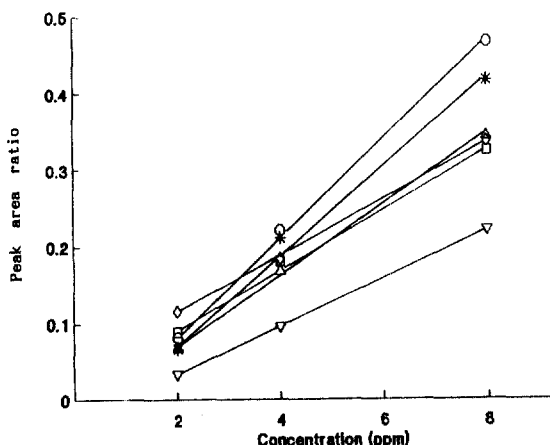


Fig. 3. Calibration curve for the solid-phase extracted (◊) oxprenolol, (○) metoprolol, (\*) penbutolol, (□) propranolol, (△) betaxolol, and (▽) atenolol from serum.

#### 4. 결론

Chromosorb 107 / methanol을 사용한 본 고상추출 방법은 신속하게 적은 양의 혈청시료를 전처리하여  $\beta$ -blockers의 분리농축을 가능케 하므로 HPLC의 on-column 시료전처리 precolumn으로서 확장되어 이용될 수 있을 것으로 기대한다. 또한 고상추출 후 TBDMS 유도체로서 GC 분석하는 본 방법은 생체시료 중 미지의  $\beta$ -blockers를 신속히 스크리닝하는데 효과적으로 이용될 수 있을 것이다.

#### 감사의 말

한국과학재단의 지원(과제번호 881-0304-005-2)에 의해서 본 연구가 이루어졌으므로 감사드립니다.

#### 인용문헌

- K. Florey, "Analytical Profiles of Drug Substances", Academic, Press, Vol. 13, pl. 26, 1984.
- A. Schneeweiss, and G. Schettler, "Cardiovascular drug therapy in the elderly", Martinus Nijhoff Publishing, p. 289-374, 1987.
- W. G. Clark, D. C. Brater, and A. R. Johnson, "Goth's Medical Pharmacology", 12th Ed., p. 181-185, The C. V. Mosby Company, 1988.
- K. D. Ballard, D. R. Knapp, J. E. Oatis, Jr., and T. Walle, *J. Chromatogr.*, **277**, 333-339(1983).
- F. T. Delbeke, M. Debackere, N. Desmet, and F. Maertens, *J. Chromatogr.*, **426**, 194-201(1988).
- D. S. Lho, J. K. Hong, H. K. Park, J. A. Lee, and J. Park, *J. Anal. Toxicol.*, **14**, 77-83(1990).
- K. R. Kim, S. Y. Myung, and D. J. Kim, Manuscript in preparation to be submitted to *Bulletin* (1993).
- P. M. Harrison, A. M. Tonkin, and A. J. McLean, *J. Chromatogr.*, **339**, 429-433(1985).
- M. S. Leloux, E. G. Dejong, and R. A. A. Maes, *J. Chromatogr.*, **488**, 357-367(1989).
- K. R. Kim, Y. J. Lee, H. S. Lee, and A. Zlatkis, *J. Chromatogr.*, **400**, 285(1987).
- 김경례, 명노홍, 성균약학논문집, 1, 68-73(1989).
- 김경례, 이경원, 심원희, 약학회지, **36**, 120-125(1992).
- 김경례, 심원희, 약학회지, **36**, 563-569(1992).
- G. R. Aiken, E. M. Thurman, and R. L. Malcolm, *Anal. Chem.*, **51**, 1799-1803(1979).